

поле  $TE_0$ -моды практически полностью локализовано в ионообменном слое, а основная энергия  $TE_4$ -моды переносится в области, где волноводный эффект обусловлен диффузией титана (рис. 2). Учитывая вклад в дифракцию лишь электрооптического эффекта, при малой эффективности дифракции можно получить приближенное соотношение для  $\eta_4/\eta_0$  в виде

$$\frac{\eta_4}{\eta_0} = \left( \frac{r_{33}}{r_{33}^I} \right)^2 \frac{|\Gamma_4|^2}{|\Gamma_0|^2},$$

где  $r_{33}^I$  — величина  $r_{33}$  в ионообменном слое;  $\Gamma_m$  — величина интеграла перекрытия поля  $TE$ -волны с пьезоэлектрическим полем ПАВ. Расчет интегралов перекрытия по найденным распределениям полей и известным параметрам ПАВ для  $\text{LiNbO}_3$  XZ-среза [5] позволил с помощью измеренных величин  $\eta_4/\eta_0$  найти отношение  $r_{33}/r_{33}^I \simeq 2.3$ . Зависимость от частоты ПАВ величины  $\eta_4/\eta_0$  для этого случая приведена на рис. 1 (кривая). Видно, что согласие между данными расчета и эксперимента достаточно хорошее. В заключение следует отметить, что, несмотря на уменьшение эффективности акустооптического взаимодействия, волноводы  $\text{H}^+ : \text{LiNbO}_3 : \text{Ti}$ , по-видимому, могут использоваться для создания высокочастотных планарных акустооптических устройств. Действительно, для двух волноводов с одинаковым профилем и нормированной толщиной в случае малой эффективности дифракции  $\eta_m$  справедливо соотношение [3]

$$\eta_m^{(1)}/\eta_m^{(2)} \simeq f_0^{(1)}/f_0^{(2)} = (\Delta n_1/n_2)^{1/2},$$

где  $f_0^{(1,2)}$  — частоты, соответствующие максимальной эффективности дифракции;  $\Delta n_{1,2}$  — преращения показателей преломления.

Таким образом, большая величина  $\Delta n$  в волноводах  $\text{H}^+ : \text{LiNbO}_3$  позволяет на более высоких частотах обеспечить примерно такую же величину дифракционной эффективности  $TE$ -волн на ПАВ, как в волноводах  $\text{LiNbO}_3 : \text{Ti}$ .

#### Литература

- [1] Бурицкий К. С., Золотов Е. М., Черных В. А. Письма в ЖТФ, 1983, т. 9, № 2, с. 72—75.
- [2] Серебренников Л. Я., Шандаров В. М., Шандаров С. М. Письма в ЖТФ, 1979, т. 5, № 5, с. 288—290.
- [3] Колосовский Е. А., Петров Д. В., Царев А. В. Квант. электр., 1980, т. 7, № 8, с. 1728—1732.
- [4] Becker R. A. Appl. Phys. Lett., 1983, v. 43, N 2, p. 131—133.
- [5] Jinyu Xu, Yixin Chen. Shanghai jiaotong dasue xuetao, 7 Shanghai Jiaotong Univ., 1983, N 2, p. 99—110.

Томский институт

автоматизированных систем управления  
и радиоэлектроники

Поступило в Редакцию  
16 марта 1987 г.

## РАСПРЕДЕЛЕНИЕ ПЛОТНОСТИ ТОКА В ПУЧКЕ ПРИ ПРЕОБРАЗОВАНИИ КРОССОВЕРА В КРОССОВЕР

Е. В. Шпак

При расчете токопрохождения в электронно-оптических системах (ЭОС) и определении параметров формируемого системой кроссовера хорошо зарекомендовал себя метод, основанный на нахождении огибающих пучков заряженных частиц [1, 2]. В работе [3] найдены выражения огибающих параксиальных пучков при различных видах фазовых контуров на входе. В этой работе показано, что для контуров, расположенных внутри прямоугольника или ромба и имеющих общие с ними вершины, огибающие не отличаются от тех, которые соответствуют фазовому прямоугольнику или ромбу, а изменяется лишь распределение плотности тока. Данная работа посвящена исследованию распределения плотности тока в параксиальных пучках с различными граничными фазовыми контурами на входе.

Рассмотрим ЭОС, в которой на основной траектории продольное магнитное поле отсутствует. Введем криволинейную систему координат  $x, y, s$ , орты которой направлены соответственно по нормали, бинормали и касательной к основной траектории. Для систем с прямой осью она переходит в декартову систему координат  $x, y, z$ . В параксиальном приближении движения в направлениях  $x$  и  $y$  являются независимыми. Введем нормированные

Величины:  $\bar{x} = x/r_{x0}$ ,  $\bar{y} = y/r_{y0}$ ,  $\bar{x}' = x'/r_{x1}$ ,  $\bar{y}' = y'/r_{y1}$ , где  $r_{x0}$ ,  $r_{y0}$ ,  $r_{x1}$ ,  $r_{y1}$  — максимальные значения соответственно  $x_0$ ,  $y_0$ ,  $x'_0$ ,  $y'_0$  в кроссовере на входе (при  $z = z_0$ ). Пусть при  $z = z_0$  мы имеем пучок прямоугольного сечения

$$-1 \leq \bar{x}_0 \leq 1, \quad -1 \leq \bar{y}_0 \leq 1, \quad (1)$$

распределение фазовой плотности в плоскостях  $xx'$  и  $yy'$  постоянно и для каждого  $\bar{y}_0$  значения  $\bar{x}_0$  и  $\bar{x}'_0$  ограничены в плоскости  $\bar{x}\bar{x}'$  следующими контурами: а) квадратом (для  $x_0$ ,  $x'_0$  он переходит в прямоугольник)

$$-1 \leq \bar{x}_0 \leq 1, \quad -1 \leq \bar{x}'_0 \leq 1, \quad (2)$$

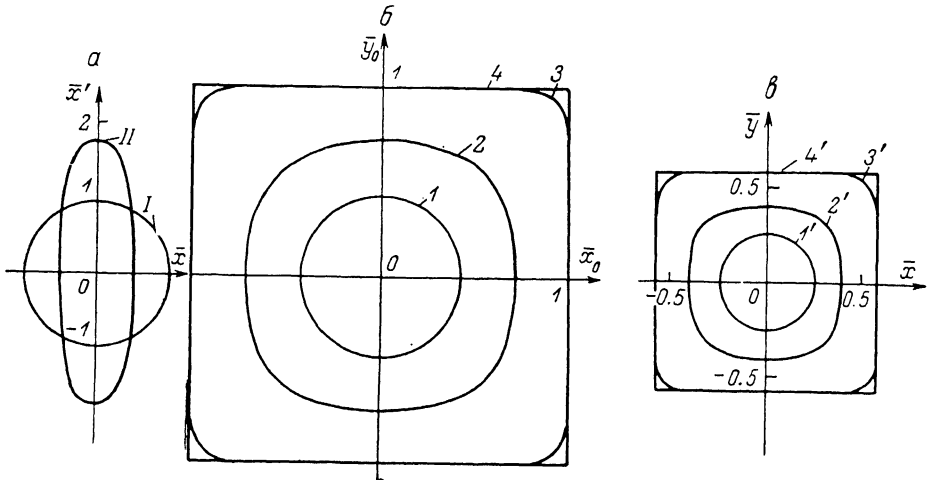


Рис. 1. Граничные фазовые контуры (а) и изофоты в плоскости входного (б) и выходного (в) кроссеров.

$$1 - J/4B_x B_y = 0.9, \quad 2 - 0.7, \quad 3 - 0.1, \quad 4 - 0. \quad 1' - 2.7, \quad 2' - 2.1, \quad 3' - 0.3, \quad 4' - 0.$$

б) окружностью (рис. 1, а, I; для  $x_0$ ,  $x'_0$  она переходит в эллипс)

$$\bar{x}_0^2 + \bar{x}'_0{}^2 = 1, \quad (3)$$

в) контуром (рис. 2, а, I), определяемым пересечением прямых с параболой

$$\begin{aligned} \bar{x}_0 &= 1, \quad \bar{x}'_0 = -1, \\ \bar{x}'_0 &= a_x + b_x \bar{x}_0^2, \quad \bar{x}_0 = -a_x - b_x \bar{x}'_0{}^2. \end{aligned} \quad (4)$$

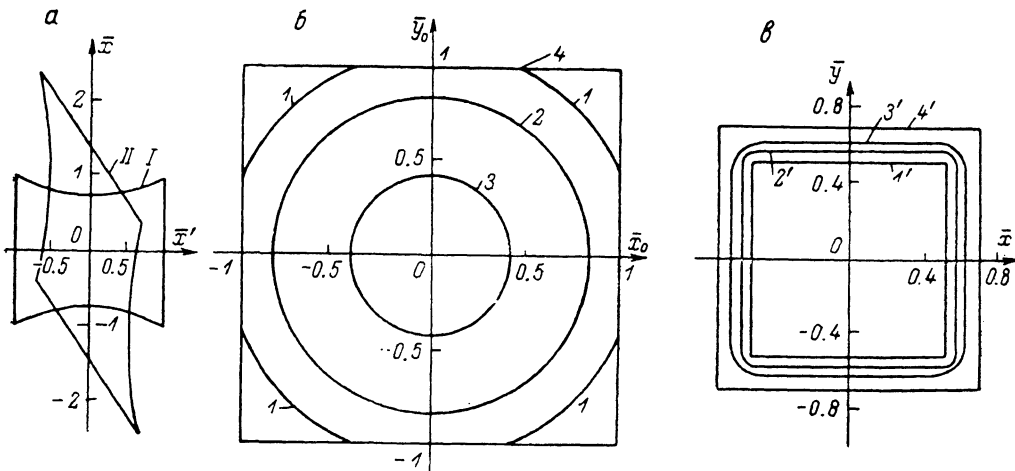


Рис. 2.

где  $a_x$ ,  $b_x$  — положительные числа; г) квадратом (рис. 3, а, I) с полюсами, расположенными вдоль осей координат (ромбом для переменных  $x_0$ ,  $x'_0$ )

$$|\bar{x}_0| = 1, \quad |\bar{x}'_0| = 1, \quad (5)$$

д) контуром (рис. 4, а, I)

$$\bar{x}_0^2 + \bar{x}'_0{}^2 = 1. \quad (6)$$

Для каждого  $\bar{x}_0$  значения  $\bar{y}_0$  и  $\bar{y}'_0$  ограничены контурами, которые получаются из выражений (2)–(6) заменой  $\bar{x} \rightarrow \bar{y}$ , причем мы будем рассматривать те варианты, когда при прямоугольном контуре в плоскости  $\bar{x}\bar{x}'$  мы имеем прямоугольник и в плоскости  $\bar{y}\bar{y}'$ , а при окружности в плоскости  $\bar{x}\bar{x}'$  — окружность в плоскости  $\bar{y}\bar{y}'$  и т. д.

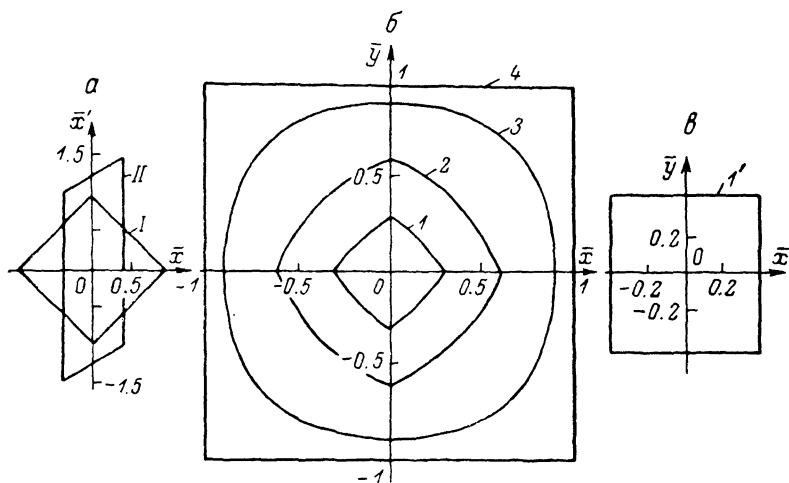


Рис. 3.

Если распределение фазовой плотности  $B(\bar{x}_0, \bar{y}_0, \bar{x}'_0, \bar{y}'_0)$  известно, то распределение плотности тока на входе может быть найдено следующим образом:

$$J(\bar{x}_0, \bar{y}_0) = \int_{-\bar{x}'_p}^{\bar{x}'_p} \int_{-\bar{y}'_p}^{\bar{y}'_p} B(\bar{x}_0, \bar{y}_0, \bar{x}'_0, \bar{y}'_0) d\bar{x}'_0 d\bar{y}'_0. \quad (7)$$

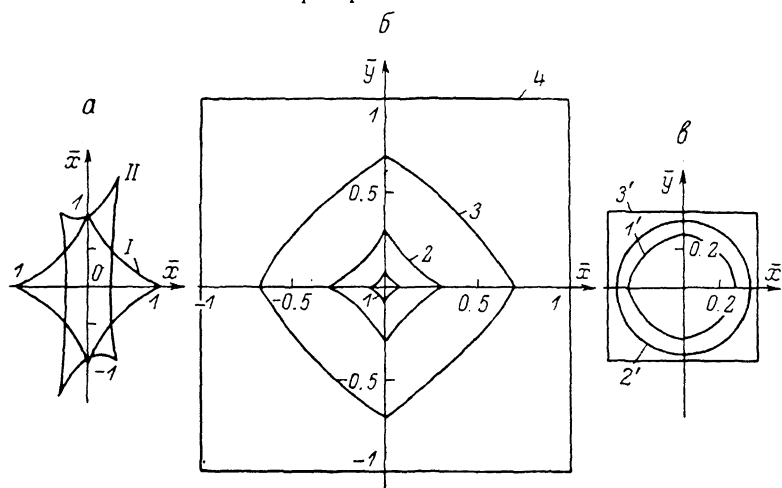


Рис. 4.

При постоянной фазовой плотности  $B(\bar{x}_0, \bar{y}_0, \bar{x}'_0, \bar{y}'_0) = B_x B_y$  ( $B_x, B_y$  — константы) для перечисленных выше границ фазовых областей получим следующие выражения: а) для прямоугольных фазовых контуров

$$j = 4B_x B_y = \text{const}, \quad (8)$$

б) для окружностей (эллипсов в плоскостях  $xx'$ ,  $yy'$ )

$$J = 4B_x B_y \sqrt{1 - \bar{x}_0^2} \sqrt{1 - \bar{y}_0^2}, \quad (9)$$

в) контуров, определяемых пересечением прямых с параболой

$$J = 4B_x B_y (a_x + b_x \bar{x}_0^2) (a_y + b_y \bar{y}_0^2), \quad (10)$$

$$J = 4B_x B_y (1 - |x_0|) (1 - |\bar{y}_0|), \quad (11)$$

д) контуров  $\bar{x}_0'^2 + \bar{x}_0'^2 = 1$ ,  $\bar{y}_0'^2 + \bar{y}_0'^2 = 1$

$$J = 4B_x B_y (1 - \bar{x}_0'^2)^{3/2} (1 - \bar{y}_0'^2)^{3/2}. \quad (12)$$

В случае «а» мы имеем в кроссовере на входе прямоугольник  $-r_x \leq x_0 \leq r_x$ ,  $-r_y \leq y_0 \leq r_y$ , с постоянной плотностью тока, а для остальных границ фазовых областей (линии равной плотности тока) приведены на рис. 1, б—4, б. Рис. 1, б относится к случаю окружностей в фазовых плоскостях  $\bar{x}_0 \bar{x}_0'$  и  $\bar{y}_0 \bar{y}_0'$ , кривая 1 соответствует  $J/4B_x B_y = 0.9$ , 2 — 0.7, 3 — 0.1, т. е. плотность тока плавно падает при удалении от центра.

На рис. 2, б приведены изофоты для контура, ограничивающего область, в которой с увеличением координат  $\bar{x}_0$  (или  $\bar{y}_0$ ) разброс углов  $\bar{x}_0'$  (или  $\bar{y}_0'$ ) возрастает. Здесь при  $a_x = a_y = 0.75$ ,  $b_x = b_y = 0.25$  плотность тока в центре равна  $J/4B_x B_y = 0.563$  и возрастает с увеличением  $\bar{x}_0$  и  $\bar{y}_0$ , резко обрываясь на границе; изофота 1 соответствует  $J/4B_x B_y = 0.8$ , 2 — 0.7, 3 — 0.6. Следует отметить, что огибающие для рассматриваемого случая и прямоугольных фазовых контуров одинаковы. Однако распределения плотности тока существенно различаются.

Рассмотрим варианты «г» и «д», для которых также огибающие пучков совпадают. На рис. 3, б и 4, б изображены изофоты соответственно для ромбов и кривых (б), рассчитанные по формулам (11), (12). Кривые 1 на этих рисунках соответствуют  $J/4B_x B_y = 0.7$ , 2 — 0.4, 3 — 0.1, т. е. для пучка, имеющего большие по площади проекции на фазовые плоскости спад плотности тока от центра к краям является более плавным.

Распределение плотности тока в плоскости изображения осесимметричных линз или систем, аналогичных осесимметричным, повторяет распределение плотности в объекте, изменяя лишь масштаб изображения в зависимости от линейного увеличения системы. В стигматических системах с различными увеличениями в направлениях  $x$  и  $y$  изменения масштаба в направлении осей  $x$  и  $y$  различны. В астигматических ЭОС положения изображения в плоскостях  $xz$  и  $yz$  не совпадают, и распределение плотности в них не повторяет распределения в плоскости кроссовера на входе. Наиболее распространенной является задача концентрации пучков заряженных частиц, поэтому большой интерес вызывает изучение распределения плотности в кроссовере формируемого системой пучка.

Если фазовая плотность при  $z = z_0$  постоянна и равна  $B_x B_y$ , то в произвольной плоскости за системой она равна

$$B(\bar{x}, \bar{y}, \bar{x}', \bar{y}') = B_x B_y \frac{\partial(\bar{x}_0, \bar{y}_0, \bar{x}'_0, \bar{y}'_0)}{\partial(\bar{x}, \bar{y}, \bar{x}', \bar{y}')} = B_x B_y \frac{\Phi_0(1 + \varepsilon\Phi_0)}{\Phi(1 + \varepsilon\Phi)}, \quad (13)$$

где  $\varepsilon = e/2m_0c^2$ ,  $e$  — заряд частицы,  $m_0$  — масса покоя,  $c$  — скорость света. При малых скоростях (13) переходит в следующее выражение:

$$B(\bar{x}, \bar{y}, \bar{x}', \bar{y}') = B_x B_y \frac{\Phi_0}{\Phi(s)}, \quad (14)$$

где  $\Phi(s)$  — потенциал на оси системы  $s$ . Проекция траектории и углы наклона в парааксиальном приближении записываются через две пары линейно-независимых решений  $x_\alpha, x_\beta, y_\alpha, y_\beta$  уравнений траектории, удовлетворяющих следующим начальным условиям при  $z = z_0 = 0$ ,  $x_\alpha = x_\beta = y_\alpha = y_\beta = 0$ ,  $x'_\alpha = x'_\beta = y'_\alpha = y'_\beta = 1$ . В плоскости кроссовера  $z = z_k$  имеем

$$\begin{aligned} x_k &= x'_\alpha x_\alpha(z_k) + x_0 x_\beta(z_k), & x'_k &= x'_\alpha x'_\alpha(z_k) + x_0 x'_\beta(z_k), \\ y_k &= y'_\alpha y_\alpha(z_k) + y_0 y_\beta(z_k), & y'_k &= y'_\alpha y'_\alpha(z_k) + y_0 y'_\beta(z_k). \end{aligned} \quad (15)$$

Для нахождения граничных фазовых контуров в плоскости кроссовера необходимо выразить с помощью уравнений (15)  $x_0$  и  $x'_0$  через  $x_k$  и  $x'_k$ , а  $y_0$  и  $y'_0$  через  $y_k$  и  $y'_k$  и подставить полученные выражения в (1)—(6), перейдя к нормированным величинам  $\bar{x}_0, \bar{y}_0, \bar{x}'_0, \bar{y}'_0$ . Формулы для нахождения положения кроссовера  $z = z_k$  приведены в работе [4].

В качестве примера было исследовано распределение плотности тока в кроссовере пучка, сформированном осесимметричной короткой одиночной линзой с единичным увеличением ( $M=1$ ). Распределения плотности в плоскости изображения в этом случае идентичны распределениям в кроссовере на входе (рис. 1, б—4, б). Граничные фазовые контуры в плоскости выходного кроссовера приведены на рис. 1, а—4, а (кривые II) для следующих параметров линзы: расстояние от кроссовера на входе до центра линзы  $p=20$  см, фокусные расстояния  $f=10$  см, расстояния от изображения до центра линзы  $q=20$  см,  $r_{x0}=0.1$  см,  $x'_0=0.007$ . При этом расстояние от кроссовера до центра линзы  $q_k$ , определенное по формулам работы [4], равно 10 см для прямоугольника и контура (4), 13.3 см для окружности, 14.1 см ромба и контура (6).

Изофоты в кроссовере для всех указанных выше контуров даны на рис. 1, *г*—4, *в*. Для квадратов в фазовых плоскостях  $\bar{x}_0\bar{x}'_0, \bar{y}_0\bar{y}'_0$ , как и в кроссовере на входе, при  $z=z_k$  получается равномерно светящийся квадрат. Его размеры  $\bar{x}_k \times \bar{y}_k = 0.7 \times 0.7$ , плотность тока внутри квадрата  $J/4B_x B_y = 2.04$ . Имеется еще один вид фазовых контуров, для которых распределения плотности во входном и выходном кроссоверах подобны, — это окружность (3), которая преобразуется при движении пучка в эллипс, принимающий канонический вид в плоскости  $z=z_k$ . Изофоты в выходном кроссовере даны на рис. 1, *в*; кривая *I'* соответствует  $J/4B_x B_y = 2.7$ ,  $2' = 2.1$ ,  $3' = 0.3$ ,  $4' = 0$ . Для всех остальных фазовых контуров на входе распределения плотности тока во входном и выходном кроссоверах существенно различны.

Изофоты для входного контура рис. 2, *а*, *I* даны на рис. 2, *в*; кривая *I'* —  $J/4B_x B_y = 2.04$ ,  $2' = 1$ ,  $3' = 0.5$ ,  $4' = 0$ . В отличие от нарастающей интенсивности от центра к краям на входе в кроссовере на выходе мы имеем интенсивно светящийся квадрат в центре со спадающей к краям интенсивностью. Преобразованный граничный фазовый контур в плоскости  $z=z_k$  приведен на рис. 2, *а*, *II*.

Фазовый ромб (рис. 3, *а*, *I*) преобразуется системой в плоскости  $z=z_k$  в параллелограмм (рис. 3, *а*, *II*), две стороны которого параллельны оси  $x'$ . Поскольку проекция на фазовую плоскость  $\bar{y} \bar{y}'$  имеет аналогичный вид, распределение плотности тока в кроссовере является равномерным внутри квадрата (рис. 3, *в*), при этом  $J/4B_x B_y = 1.47$ .

Последний из рассмотренных нами фазовых контуров (6) в плоскости  $z=z_k$  преобразуется в контур, изображенный на рис. 4, *а*, *II*. Изофоты в плоскости кроссовера (рис. 4, *в*) показывают, что распределение интенсивности становится менее быстроспадающим, чем на входе. Кривая *I'* соответствует  $J/4B_x B_y = 0.9$ ,  $2' = 0.5$ ,  $3' = 0$ .

Таким образом, во всех рассмотренных нами случаях распределение плотности тока в кроссовере параксиального пучка, формируемом электронно-оптической системой, значительно ближе к равномерному и резко спадающему на краях, чем в плоскости изображения и входного кроссовера.

### Литература

- [1] Штеффен К. Оптика пучков высоких энергий. М.: Мир, 1969. 222 с.
- [2] Дупников А. Д., Перелштейн Е. А. Nucl. Instr. Meth., 1978, v. 148, N 3, p. 567—571.
- [3] Шпак Е. В. ЖТФ, 1987, т. 57, № 2, с. 322—329.
- [4] Шпак Е. В., Явор С. Я. ЖТФ, 1984, т. 54, № 10, с. 1992—1998.

Физико-технический институт  
им. А. Ф. Иоффе АН СССР  
Ленинград

Поступило в Редакцию  
16 марта 1987 г.

Журнал технической физики, т. 58, в. 5, 1988

## РАССЕЯНИЕ ДВУМЕРНОГО ЭЛЕКТРОННОГО ГАЗА НА ТРЕХМЕРНОМ

И. И. Бойко, Ю. Н. Сиренко

В настоящем сообщении рассчитывается проводимость двумерного электронного газа (2МЭГ), расположенного в плоскости  $z=0$ , взаимодействующего с электронами, занимающими полупространство  $z > l$  (см. рисунок). При достаточно малой длине  $l$  средняя частота столкновений оказывается достаточно высокой, что позволяет считать указанный механизм актуальным для полупроводниковых гетероструктур.

Для расчета функции распределения частиц 2МЭГ удобно использовать кинетическое уравнение в таком виде, где столкновительный член выражается через диэлектрическую функцию системы (в трехмерном случае такая форма используется при записи интеграла Ленарда—Балеску [1, 2]). Для невырожденного 2МЭГ

$$eE \frac{\partial f(\mathbf{v})}{\partial \mathbf{v}} = \frac{e^2}{\pi} \int d^2g \frac{\mathbf{q}}{q} \frac{\partial}{\partial \mathbf{v}} \left\{ \frac{\text{Im} \epsilon_s(\mathbf{q}, \mathbf{v}, \mathbf{q})}{|\epsilon(\mathbf{q}\mathbf{v}, \mathbf{q})|^2} \left[ f(\mathbf{v}) + \frac{V_{21}^2}{(\mathbf{q}\mathbf{v})} \mathbf{q} \frac{\partial f(\mathbf{v})}{\partial \mathbf{v}} \right] \right\} + I_{ee}^{(2)}. \quad (1)$$

Интеграл  $I_{ee}^{(2)}$  описывает столкновение частиц 2МЭГ друг с другом, явный вид его нам не понадобится. Однородное электрическое поле  $E$  лежит в  $xy$ -плоскости;  $\mathbf{v} = (v_x, v_y)$ ;  $\mathbf{q} = (q_x, q_y)$ ;  $v_z = (T/m_2)^{1/2}$  — тепловая скорость частиц 2МЭГ;  $\epsilon(\omega, \mathbf{q}) = \epsilon_s(\omega, \mathbf{q}) + \Delta\epsilon_{2D}(\omega, \mathbf{q})$ .

Столкновительный член в (1) позволяет учесть любой потенциальный механизм рассеяния 2МЭГ. Мы ограничиваемся здесь рассмотрением рассеяния на флуктуационном потенциале.